

Расчет параксиальных характеристик линз с различным распределением показателя преломления аналитическим и численным методами

Т.В. Исаева¹, А.Л. Сушков¹, М.К. Тарабрин¹

¹ МГТУ им. Н.Э. Баумана, Москва, Россия.

Проанализированы результаты расчета параксиальных характеристик линз с осевой и радиальной неоднородностями показателя преломления численным и аналитическим методами. Обоснован критерий достаточного количества коэффициентов числовых рядов, представляющих в неоднородной среде функции высоты луча и угла луча с оптической осью.

E-mail: rl-3bmstu@yandex.ru

Ключевые слова: *градиент показателя преломления, линза с неоднородным показателем преломления, методы расчета параксиальных характеристик линзы с неоднородным показателем преломления.*

Оптические элементы с различными видами распределения показателя преломления (РПП) находят все более широкое применение в современных приборах. Однако исследование влияния параметров РПП и толщин неоднородных линз на aberrации оптической системы посредством расчета хода реальных лучей затруднено вследствие большого объема вычислений. Альтернативным подходом является анализ aberrаций в зейделевой области, требующий знания параметров первого и второго вспомогательных (параксиальных) лучей. Для общего вида РПП $n(x, y, z)$ коэффициенты рядов по координате z , представляющих высоту и угол луча в неоднородной среде, можно определять численным методом, разработанным Д. Муром*.

Цель работы — определить область применимости численного метода расчета для линз с осевым и радиальным РПП различной конфигурации поверхностей и толщины. Критерий применимости универсального метода основан на сравнении с результатами, полученными альтернативным методом, в котором функции высоты и угла луча определены аналитически.

Задачей исследования являлся сравнительный анализ величин параксиальных характеристик линзы (фокусного расстояния и заднего фокального отрезка) с наличием в стекле линзы осевого или радиального РПП с различной конфигурацией поверхностей линзы и определение оптимального количества коэффициентов ряда, пред-

* Сушков А.Л. Алгоритм расчета зейделевых aberrаций для оптической среды с распределенным показателем преломления // Известия вузов: Приборостроение. 2012. № 5. Т. 55. С. 64—72.

ставляющего функцию угла луча с оптической осью и высоту луча в неоднородной среде.

Обозначим функции углов наклона с оптической осью и высот вспомогательных лучей $\alpha(z)$, $\beta(z)$, $h(z)$, $H(z)$. В неоднородной среде $\alpha(z) = h(z)$, $\beta(z) = H(z)$.

В общем случае функция показателя преломления оптической среды представляется в виде степенного ряда:

$$n(z, y) = n_0(z) + n_1(z)y^2 + n_2(z)y^4 + \dots, \quad (1)$$

где $n_0(z)$, $n_1(z)$, $n_2(z)$ также являются степенными рядами:

$$\begin{aligned} n_0(z) &= n_{00} + n_{01}z + n_{02}z^2; \\ n_1(z) &= n_{10} + n_{11}z + n_{12}z^2; \\ n_2(z) &= n_{20} + n_{21}z + n_{22}z^2. \end{aligned} \quad (2)$$

Осевое РПП имеет вид $n(z) = n_{00} + n_{01}z + n_{02}z^2 + \dots$, а радиальное РПП: $n(y) = n_{00} + n_{10}y^2 + n_{20}y^4 + \dots$

Коэффициенты n_{01} , n_{02} , n_{10} , n_{20} имеют размерности согласно степеням z и y : мм^{-1} , мм^{-2} , мм^{-4} .

Функции углов и высот лучей представляются в виде степенных рядов по координате z :

$$\begin{aligned} h(z) &= A_0 + A_1z + A_2z^2 + A_3z^3 \dots; & H(z) &= B_0 + B_1z + B_2z^2 + B_3z^3 \dots; \\ \alpha(z) &= A_1 + 2A_2z + 3A_3z^2 \dots; & \beta(z) &= B_1 + 2B_2z + 3B_3z^2 \dots, \end{aligned} \quad (3)$$

где A_0 и A_1 — высота и угол первого вспомогательного луча на входе в неоднородную среду; B_0 , B_1 — высота и угол второго вспомогательного луча с оптической осью на входе в неоднородную среду.

Коэффициенты степенных рядов вычисляются по рекурсивной формуле*:

$$\begin{aligned} A_m &= \\ &= \left\{ \begin{aligned} &\sum_{n=2}^{n=m-1} [2A_{n-2}n_{1,m-n} - n(n-1)A_n n_{0,m-n} - (m-n+1)(n-1)A_{n-1}n_{0,m-n+1}] - \\ &-(m-1)A_{m-1}n_{01} + 2A_{m-2}n_{10} \end{aligned} \right\} / \\ &\quad / m(m-1)n_{00}. \end{aligned} \quad (4)$$

Для осевого РПП формула (4) имеет следующий вид:

* Сушков А.Л. Указ. соч.

$$A_m = \frac{\sum_{n=2}^{n=m-1} [-n(n-1)A_n n_{0,m-n} - (m-n+1)(n-1)A_{n-1} n_{0,m-n+1}] - (m-1)A_{m-1} n_{01}}{m(m-1)n_0}. \quad (5)$$

После раскрытия (5) получим

$$\begin{aligned} A_2 &= -A_1 \frac{n_{01}}{2n_{00}}; \\ A_3 &= \frac{-A_1 n_{02} - 2A_2 n_{01}}{3n_{00}}; \\ A_4 &= \frac{-A_1 n_{03} - 2A_2 n_{02} - 3A_3 n_{01}}{4n_{00}}; \\ A_5 &= \frac{-2A_2 n_{03} - 3A_3 n_{02} - 4A_4 n_{01}}{5n_{00}}; \\ A_6 &= \frac{-3A_3 n_{03} - 4A_4 n_{02} - 5A_5 n_{01}}{6n_{00}} \dots \end{aligned} \quad (6)$$

Для радиального РПП формула (4) имеет вид

$$A_m = \frac{2A_{m-2} n_{10}}{m(m-1)n_{00}}. \quad (7)$$

Раскрытие (7) дает:

$$\begin{aligned} A_2 &= 2A_0 \frac{n_{10}}{2n_{00}}; \\ A_3 &= 2A_1 \frac{n_{10}}{6n_{00}}; \\ A_4 &= 2A_2 \frac{n_{10}}{12n_{00}}; \\ A_5 &= 2A_3 \frac{n_{10}}{20n_{00}} \dots \end{aligned}$$

Для обоих типов РПП коэффициенты B_m вычисляются по формуле для A_m с заменой A_m на B_m .

Для проверки сходимости рядов на каждой поверхности вычисляется параксиальный инвариант $I = n_k (H_k \alpha_k - h_k \beta_k)$, где n_k — осевой показатель преломления непосредственно перед k -й поверхностью. Если

значения инварианта идентичны, то ряды сходятся и расчет продолжается. В случае несовпадения значений необходимо повысить точность расчета, увеличив число членов в разложении $h(z)$, $H(z)$.

Аналитический метод заключается в расчете параметров лучей по формулам углов и высот, полученным в результате решения дифференциального уравнения хода луча для парааксиальной области.

Для осевого и радиального РПП формулы преломления луча на первой и второй поверхностях имеют общий вид. Примем для удобства обозначение $n_{00} = n_0$, тогда, если h_1 , α_1 — исходные значения высоты луча и угла с оптической осью, d — толщина линзы, то

$$\alpha_2 = h_1 \rho_1 \frac{(n_0 - 1)}{n_0}; \quad (8)$$

$$\alpha_3 = h_2 \rho_2 (1 - n_z) + \alpha_{22} n_z,$$

где $\rho_1 = 1/r_2$; $\rho_2 = 1/r_1$; α_{22} — угол на выходе из градиентной среды; n_z — значение ПП на выходе из градиентной среды.

Заднее фокусное расстояние и задний фокальный отрезок линзы определим по формулам

$$f' = \frac{h_1}{\alpha_3}; \quad S'_{F'} = \frac{h_2}{\alpha_3}.$$

Для осевого РПП функции высоты луча и угла луча в оптической среде имеют следующий вид:

$$h_2(z) = h_1 - n_0 \alpha_2 \int_0^d \frac{1}{n(z)} dz; \quad (9)$$

$$\alpha_{22}(z) = \frac{\alpha_2 n_0}{n_z}.$$

Фокусное расстояние f' линзы с учетом формул (8) и (9) описывается выражением

$$f = \frac{1}{\rho_1(n_0 - 1) - \rho_2(n_z - 1) + \rho_1 \rho_2 (n_0 - 1)(n_z - 1) \int_0^d \frac{1}{n(z)} dz}. \quad (10)$$

Для радиального РПП ($n_{10} < 0$) имеем функции высоты луча и угла с осью:

$$h_2(z) = h_1 \cos(tz) - \frac{\alpha_2}{t} \sin(tz);$$

$$\alpha_{22}(z) = \alpha_2 \cos(tz) + h_1 t \sin(tz),$$

где $t = \sqrt{\frac{2|n_{10}|}{n_{00}}}$.

Аналитическое выражение для фокусного расстояния линзы при наличии в стекле радиального РПП имеет вид

$$f' = \frac{1}{(n_{00} - 1)(\rho_1 - \rho_2) \cos(td) + \frac{\rho_1 \rho_2 (n_{00} - 1)^2}{n_{00} t} \sin(td) + n_{00} t \sin(td)}. \quad (11)$$

Критерием правильности расчета высоты луча и угла луча с оптической осью в линзе является совпадение обобщенного паракиального инварианта на каждой поверхности линзы с точностью до 4—5-го знака. При выполнении этого условия результат с точностью до 3-го знака совпадает с результатом аналитического расчета.

В качестве объектов исследования из патентной базы США были выбраны линзы с осевым и радиальным распределением показателя преломления: для осевого РПП — US Patent № 5, 239, 413 «Objective lens system for microscopes», 1993; для радиального РПП — US Patent № 6, 519, 098 «Objective lens system», US Patent № 4, 859, 040 «Optical system having gradient-index lens and method for correction aberrations» и US Patent № 5, 912, 770 «Achromatic lens system». Размеры радиусов кривизны поверхностей и толщин линз в миллиметрах.

Линзы с осевым РПП

Линза 1. Положительная двояковыпуклая линза (рис. 1):

$$\rho_1 = 9,421 \cdot 10^{-4}; \quad d = 4,1731; \quad n_{02} = 0,66018 \cdot 10^{-3};$$

$$\rho_2 = -0,101;$$

$$n_0 = 1,51742;$$

$$n_{01} = 0,44269 \cdot 10^{-1}; \quad n_z = 1,71365.$$

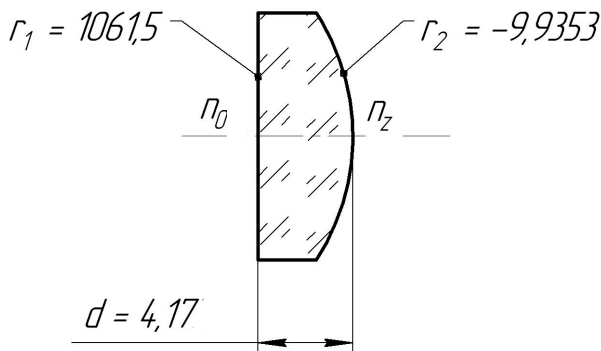


Рис. 1. Геометрические параметры линзы 1

Аналитический результат: $f' = 13,798$; $S'_{f'} = 13,780$.

Численный результат ($m = 3$):

$$\alpha_1 = 0; \quad h_1 = 13,798;$$

$$h_2 = A_0 + A_1d + A_2d^2 + A_3d^3 = 13,78042;$$

$$\alpha_{22} = -(A_1 + 2A_2d + 3A_3d^2) = 3,92495 \cdot 10^{-3};$$

$$\alpha_3 = 1,00000;$$

$$f = 13,798; \quad S'_{f'} = 13,780.$$

Обобщенные параксиальные инварианты на 1-й и 2-й поверхностях линзы:

$$I_1 = (H_1\alpha_1 - h_1\beta_1) = -13,79784;$$

$$I_2 = n_z(H_2\alpha_{22} - h_2\beta_{22}) = -13,79799;$$

$$\Delta I = I_1 - I_2 = 0,00015.$$

Линза 2. Вогнуто-выпуклый мениск (рис. 2):

$$\rho_1 = -0,229; \quad n_{01} = 0,64233 \cdot 10^{-2};$$

$$\rho_2 = -0,162; \quad d = 3,4472;$$

$$n_0 = 1,59799; \quad n_z = 1,62013.$$

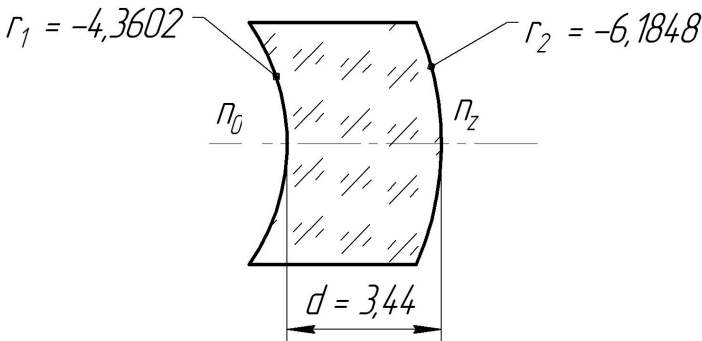


Рис. 2. Геометрические параметры линзы 2

Аналитический результат: $f' = -134,785$; $S'_{f'} = -174,388$.

Численный результат ($m = 3$):

$$f = -134,785; \quad S'_{f'} = -174,388;$$

$$I_1 = (H_1\alpha_1 - h_1\beta_1) = 134,78474;$$

$$I_2 = n_z(H_2\alpha_{22} - h_2\beta_{22}) = 134,78474;$$

$$\Delta I = I_1 - I_2 = 0,000005.$$

Линза 3. Линза отрицательная двояковогнутая с увеличенной толщиной и полиномом РПП 3-й степени (рис. 3):

$$\rho_1 = -0,298; \quad d = 11,1;$$

$$\rho_2 = 0,038;$$

$$n_0 = 1,64322;$$

$$n_{01} = -0,38745 \cdot 10^{-2};$$

$$n_{02} = -0,18639 \cdot 10^{-3};$$

$$n_{03} = 0,16994 \cdot 10^{-4};$$

$$n_z = 1,60049.$$

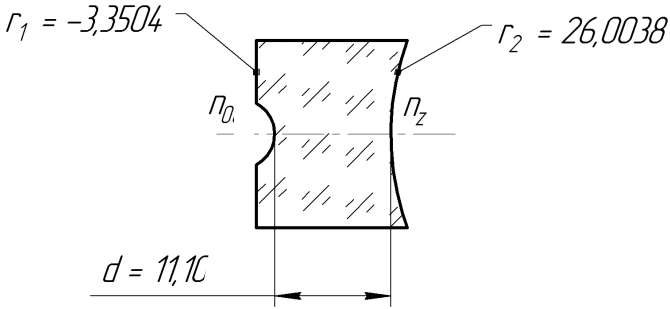


Рис. 3. Геометрические параметры линзы 3

Аналитический результат: $f' = -4,074$; $S'_{f'} = -9,435$.

Численный результат ($m = 7$):

$$f = \frac{h_1}{\alpha_3} = -4,074; \quad S'_{f'} = \frac{h_2}{\alpha_3} = -9,435;$$

$$I_1 = (H_1 \alpha_1 - h_1 \beta_1) = 4,07395;$$

$$I_2 = n_z (H_2 \alpha_{22} - h_2 \beta_{22}) = 4,07390;$$

$$\Delta I = I_1 - I_2 = 0,000048.$$

При $m = 6$ $\Delta I = 0,0007298$; $m = 5$, $\Delta I = -0,000891$.

Линза 4. Положительная двояковыпуклая линза (рис. 4):

$$\rho_1 = 0,038; \quad n_{02} = -0,75 \cdot 10^{-2};$$

$$\rho_2 = -0,092; \quad n_{03} = 0,52063 \cdot 10^{-3};$$

$$n_0 = 1,67; \quad d = 3,5;$$

$$n_{01} = 0,76794 \cdot 10^{-1}; \quad n_z = 1,86923.$$

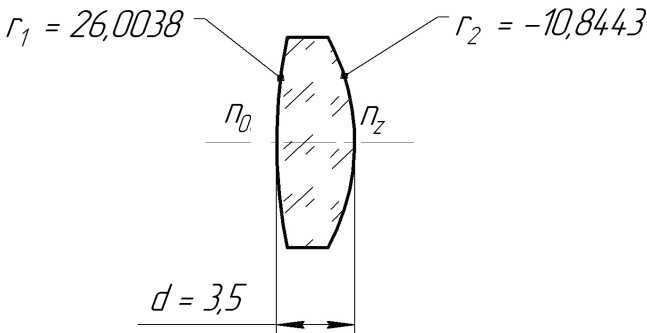


Рис. 4. Геометрические параметры линзы 4

Аналитический результат: $f' = 9,818$; $S'_{f'} = 9,320$.

Численный результат ($m = 10$):

$$f = 9,818; \quad S'_{f'} = 9,320;$$

$$I_1 = (H_1\alpha_1 - h_1\beta_1) = -9,81797;$$

$$I_2 = n_z(H_2\alpha_{22} - h_2\beta_{22}) = -9,81762;$$

$$\Delta I = I_1 - I_2 = -0,000354.$$

При $m = 9$ $\Delta I = 0,0009097$; при $m = 8$ $\Delta I = -0,002335$; при $m = 7$ $\Delta I = 0,005938$.

Линзы с радиальным РПП

Линза 5. Отрицательная двояковогнутая линза (рис. 5):

$$\rho_1 = -0,08883;$$

$$\rho_2 = 0,59959;$$

$$d = 1,88;$$

$$n_{00} = 1,72;$$

$$n_{10} = -0,08746.$$

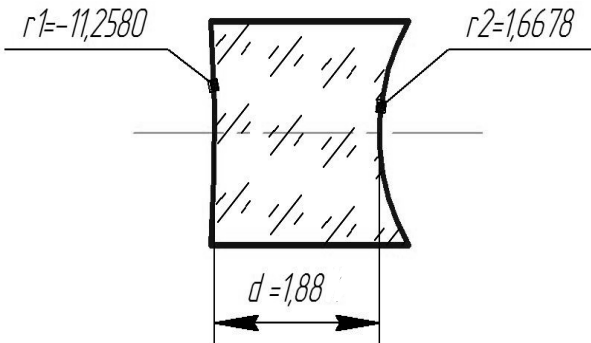


Рис. 5. Геометрические параметры линзы 5

Аналитический результат: $f' = -7,821$; $S'_{f'} = -6,970$.

Численный результат ($m = 7$):

$$f = -7,821; \quad S'_{f'} = -6,970;$$

$$I_1 = (H_1\alpha_1 - h_1\beta_1) = -1,00000;$$

$$I_2 = n_z(H_2\alpha_{22} - h_2\beta_{22}) = -1,000002417;$$

$$\Delta I = I_1 - I_2 = -0,000002417.$$

Линза 6. Вогнуто-выпуклый мениск (рис. 6):

$$\rho_1 = -0,00526; \quad n_{00} = 1,80;$$

$$\rho_2 = -0,00845; \quad n_{10} = -3,9767410 \cdot 10^{-4};$$

$$d = 12,63.$$

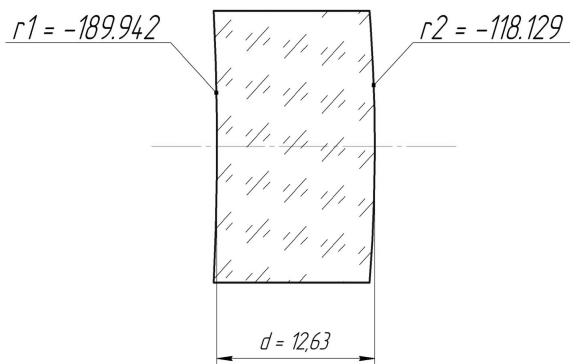


Рис. 6. Геометрические параметры линзы 6

Аналитический результат: $f' = 79,389$; $S'_{f'} = 78,926$.

Численный результат ($m = 5$):

$$f' = 79,392; S'_{f'} = 78,929;$$

$$I_1 = (H_1\alpha_1 - h_1\beta_1) = -1,00000;$$

$$I_2 = n_{00}(H_2\alpha_{22} - h_2\beta_{22}) = -0,99999806;$$

$$\Delta I = I_1 - I_2 = -0,00000194.$$

Линза 7. Линза Вуда (рис. 7):

$$\rho_1 = -0,00000; n_{00} = 1,6640;$$

$$\rho_2 = 0,00000; n_{10} = -7,5 \cdot 10^{-3};$$

$$d = 6,95.$$

Аналитический результат: $f' = 10,327$; $S'_{f'} = 8,160$.

Численный результат ($m = 7$):

$$f' = 10,327; S'_{f'} = 8,160;$$

$$I_1 = (H_1\alpha_1 - h_1\beta_1) = -1,00000;$$

$$I_2 = n_{00}(H_2\alpha_{22} - h_2\beta_{22}) = -1,00000514;$$

$$\Delta I = I_1 - I_2 = 0,00000514.$$

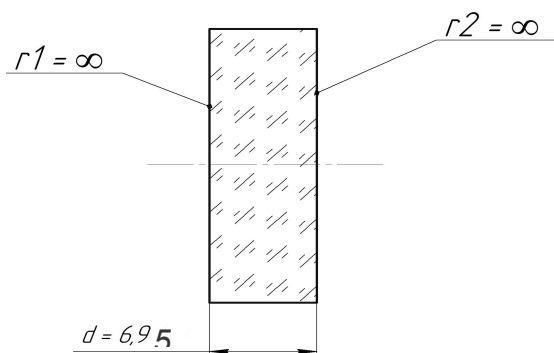


Рис. 7. Геометрические параметры линзы 7

Таким образом, установлено, что в случае осевого РПП в линзе на количество коэффициентов ряда, представляющего высоту луча и угол луча с оптической осью, влияет толщина линзы и характер РПП. С увеличением толщины линзы при значительной нелинейности РПП для сохранения точности расчета необходимо увеличить количество коэффициентов ряда. Так, для линз 1 и 2 достаточно представить функции высоты и угла луча рядом по координате z до 3—4-й степени, при увеличенной толщине потребовалось увеличить степень ряда до 7-й, а при РПП с выраженной нелинейностью РПП — до 10-й степени.

Для радиального РПП на количество коэффициентов разложения ($m = 5 \dots 7$) влияет значение градиента показателя преломления (модуль коэффициента n_{10}).

Статья поступила в редакцию 16.10.2012